

Şizofrenide Açıklama Modelleri ve Proton Manyetik Rezonans Spektroskopi Çalışmaları

H. Murat Emül¹, Ömer Geçici², Alpay Haktanır³

ÖZET:

Şizofrenide açıklama modelleri ve proton manyetik rezonans spektroskopi çalışmaları

Şizofreniyi açıklama ve anlama çabaları görüntüleme teknikleri yoluyla uzun yıllardan beri devam etmektedir. Proton Manyetik Rezonans Spektroskopisi (¹H MRS) şizofreni çalışmalarında kullanılan en son tekniklerdir. Bu non-invazif teknikle beyinde *in vivo* N-asetil aspartat (NAA), kolin (Cho), kreatin (Cr), miyoinozitol (ml), glutamat (Glx) ve laktat gibi biyokimyasal metabolitleri ölçmek olasıdır. Araştırmaların çoğunda sağlıklılara oranla psikotik bozukluğu olanlarda NAA, bazen Glx değişiklikleri, az sayıda Cho ve Cr değişiklikleri saptanmıştır. Bu değişikliklerin olası nedenleri ve sonuçları şizofrenideki nörogelişimsel, nörodejeneratif, glutamerik eksitotoksite ve tüm kuramların entegrasyonunu öne süren şizofreni açıklama modellerine katkıları açısından tartışılmıştır. Şizofreni çalışmalarının çoğunda ihmal edilen alt tiplerden MRS sonuçları değerlendirilmiştir. Çalışma sonuçlarının çeşitliliğinin görüntüleme tekniği, araştırmaların metodolojisi ya da hastalığa bağlı epifenomenolojik bir durumdan kaynaklanabileceğine dikkati çekmek amaçlanmıştır.

Anahtar sözcükler: Şizofreni, proton manyetik rezonans spektroskopi, açıklama modelleri

Klinik Psikofarmakoloji Bülteni 2006;16:195-206

ABSTRACT:

The descriptive models and proton magnetic resonance spectroscopy studies used in schizophrenia

There have been long time efforts to understand and describe schizophrenia. Proton Magnetic Resonance Spectroscopy (¹H MRS) is a new technique that is used in schizophrenia researches. In vivo brain biochemicals such as N-acetyl aspartate (NAA), choline (Cho), creatine (Cr), glutamate-glutamine (Glx), lactate, myoinositol (ml) levels become available to be measured via non-invasive ¹H MRS technique. In the most of the studies NAA differences were common while sometimes glx, and less Cho, Cr differences were seen in patients with schizophrenia compared to healthy controls. The possible causes, consequences and effects of these findings were discussed from the point of neurodevelopmental, neurodegenerative, glutameric excitotoxicity and integrative model in schizophrenia. Also the ¹H MRS findings were assessed among the subtypes of schizophrenia. We intended to emphasize the difficulties of ¹H MRS technique, the methodological problems of the studies, and the possible epiphemonological conditions while considering these inconclusive findings.

Key words: Schizophrenia, proton magnetic resonance spectroscopy, descriptive models

Klinik Psikofarmakoloji Bülteni 2006;16:195-206

GİRİŞ

Şizofreni beynin yapısında değişikliklerle giden, birçok davranış ve düşünce bozukluğuna neden olan, daha çok genç erişkin yaşlarda başlayan heterojen olmakla birlikte sonlanımı genellikle kötü bir hastalıktır. Şizofreninin etyopatogenezi üzerine değişik hipotezler ileri sürülmüştür. Genç erişkinlik döneminde saptanan beyin patolojileri, nörobiyolojik çalışmalara hız kazandırmıştır. Yapılan çalışmalarda, son dönemlerde nörogelişimsel bir bozukluk olduğu düşünülen şizofrenide farklı nöropatolojik bulgular bildirilmiştir. Bu araştırmalar medulla spinalis dahil mer-

kezi sinir sisteminin (MSS) her bölgesine ait sonuçları içermektedir. Şizofrenide MSS ile ilişkili bu klinik, nörogelişimsel, nöropatolojik veriler sıkılıkla beyin görüntüleme yöntemlerinden elde edilmiştir (1).

Proton manyetik rezonans spektroskopisi (¹H MRS) son yıllarda şizofreni araştırmalarında kullanılan nörokimyasal değişiklikleri gösterebilen gelişmiş bir yöntemdir (2-10). Bu yazıda şizofrenide ¹H MRS çalışmaları ve şizofreni açıklama modellerine olan katkısı tartışıldı. Önce ¹H MRS tekniği kısaca açıklandı. Daha sonra ulaşılan ¹H MRS şizofreni çalışmaları gözden geçirildi.

¹Yrd. Doç. Dr., ²Doç. Dr., Afyon Kocatepe Üniversitesi Tıp Fakültesi Psikiyatri, ³Radyodiagnostik Anabilim Dalı, Afyon-Türkiye

Yazışma Adresi / Address reprint requests to:
H. Murat Emül, Afyon Kocatepe Üniversitesi, Ahmet Necdet Sezer Uygulama ve Araştırma Hastanesi, Psikiyatri Kliniği (Pembe Hastane), Afyon-Türkiye

Telefon / Phone: +90-272-217-1753/232

Elektronik posta adresi / E-mail address:
hmuratemu@hotmail.com,
muratemu@yahoo.com

Kabul tarihi / Date of acceptance:
1 Ekim 2005 / October 1, 2005

PROTON MANYETİK REZONANS SPEKTROSKOPİSİ

¹H MRS'de Temel İlkeler

Manyetik alan gücü bilinen bir ortamda farklı çekirdekler, rezonans frekansları ile tanınabilirler. Gönderilen radyo frekansı iletisi protonlar ile aynı frekansta ise protonlar radyo dalgalarından enerji alıp ortama geri verirler. Larmor denklemine göre hidrojen için rezonans frekansı 1,5 Tesla gücünde bir dış manyetik alanında 63. 89 mega hertzdir. Protonların rezonans frekansı dış manyetik alan gücünün yanı sıra kimyasal molekül yapılarına da bağlıdır. Bu nedenle su ve yağ bileşiminde hidrojen farklı rezonansa sahiptir. Kimyasal değişim manyetik rezonans görüntülemede artefakt oluştururken, manyetik rezonans spektroskopide (MRS) veri kaynağıdır. Toplanan veriler bir spektrumda gösterilir. Spektrumda oluşan pikler, metabolitlerdeki protonların rezonans frekans farklarını göstermektedir.

In vivo MRS'de, manyetik momente sahip oldukları için tek sayıda proton ve nötron içeren çekirdekler kullanılabilirler. Bunların arasında daha yüksek duyarlılığı olan ve organik yapılarda bol miktarda bulunan hidrojen çekirdekleri (¹H) sıklıkla kullanılmaktadır (11).

Single voksel (ilgilenilen tek hacim), multi voksel (farklı ilgilenilen hacimler), 3D-proton, 2D-kimyasal değişim görüntülemesi (2D-KDG) gibi değişik yöntemler vardır. 2D-KDG yöntemi ile geniş doku hacmi değerlendirilebilir. Rutin uygulamalarda 2D-KDG'de sinyal gürültü oranı (SGO) düşük olduğundan single voksel proton MRS uygulanır. MRS'de daha çok Point Resolved Surface Coil Spectroscopy (PRESS) ve Stimulated Echo Acquisition Method (STEAM) sekansları kullanılır (12).

Protonların salınım frekansları magnetin gücü ile orantılı olduğundan 1.5 Tesla ve üzerindeki MR sistemleri kullanılmaktadır. Spektrum kalitesi doğrudan manyetik alan homojenitesine bağlı olduğundan MRS'de shimming (ortamı homojenleştirme) oldukça önemlidir. MRS'de metabolitleri göstermek için su ve yağdan gelen sinyalleri ortamdan uzaklaştırmalıdır (13,14).

¹H MRS'de Metabolitler

N-Asetil Aspartat (NAA) normal spektrumda en geniş pike sahiptir. NAA 2.02 ppm'de rezonansa erişir. Yaş, cinsiyete ve beynin farklı lokalizasyonlarına göre değişiklik gösterir (15).

Glutamat ve Glutamin (Glx) MRS'de Glx küçük kompleks pikler şeklinde 2.1-2.5 ppm aralığında izlenir.

Kreatin (Cr) ve fosfokreatinden oluşan total kreatin, enerji metabolizmasında belirleyicidir. Gri maddede beyaz cevherden daha fazla bulunur. MRS'de kreatin piki genellikle stabil kaldığından referans değer olarak alınır. Kreatin piki 3.02 ppm'de rezonansa erişir ve 3. 94 ppm'de ikinci bir rezonans yapar.

Kolin (Cho) piki fosforilkolin ve gliserofosforilkolin toplamından oluşan bir komplekstir. Kolin pikinin çok azı serbest kolin ve asetilkolininden elde edilir. Beyin metabolizması için gerekli kolin diyetten alınır. MRS'de 3.2 ppm'de rezonansa erişir. Kolin piki myelinizasyon, hücre yoğunluğu ve proliferasyon ve membrandaki işlevler hakkında bilgi verir.

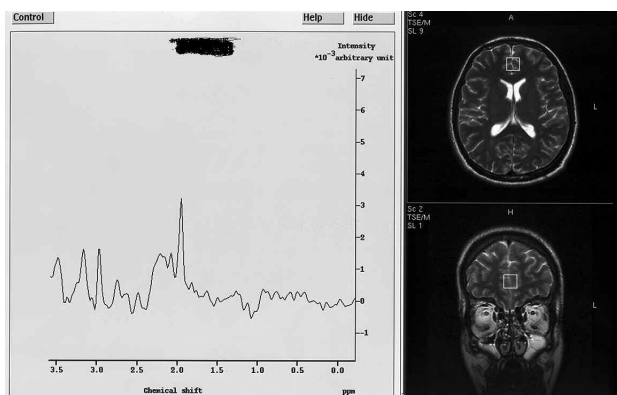
Basit şeker benzeri bir molekül olan miyoinozitol (ml), 3.56 ppm'de rezonansa erişen bir glial hücre belirticidir. Fonksiyonu iyi bilinmeyen alanın MRS'de 1.5 ppm'de pik yapmaktadır. Beyinde anaerobik metabolizmayı (hipoksiyi) gösteren laktat gibi metabolitler normal MRS'de izlenmemektedir. Ancak görüntüleme alanında beyin omurilik sıvısı varsa saptanabilmektedir (16,17).

ŞİZOFRENİDE BÖLGESEL PROTON MANYETİK REZONANS SPEKTROSKOPİ ÇALIŞMALARI

Prefrontal Kortex

Şizofrenide en çok çalışılan bölge prefrontal kortekstir (PFK). Pozitron emisyon tomografisi ile yapılan öncül çalışmaların birinde dinlenme anında kontrol grubuna oranla şizofren hastaların frontal loblarında azalmış 2-deoksiglukoz alımı (hipofrontalite) saptanması, dikkatin sürdürülmesinde önemli olan frontal loblara dikkati çekmiştir (18). Matürasyonunu tamamlamış beyinde en fazla nöronlarda bulunan NAA'nın sentezi mitokondride adenozin dinükleotid fosfata (ADP) bağımlı olarak gerçekleşir. Bir mol NAA oluşumu için beyinde 40 mol glukoz veya eşdeğeriinin oksitlenmesi gereklidir. Buna bağlı olarak frontal bölgede NAA azalması glukoz tüketiminin yeterince olmadığını yani hipofrontaliteyi göstermektedir (19) (Şekil 1).

PFK nörokimyasal görüntülemelerinin çoğu NAA'da anlamlı azalma saptanmıştır (2-4,19). Ancak bu azalmanın neyin göstergesi olduğu tartışımalıdır. Çalış-



Şekil 1: Şizofren bir olgunun bilateral (32. Brodmann alanı) prefrontal korteks MRS görüntüsü (19).

malardaki örneklemeler genellikle kronik bozukluğu olan bireylerden seçilmiştir ve bu hastalar büyük olasılıkla uzun zamandır tedavi gören bireylerdir. Bulguların hastalıktan önce ya da hastalık süreciyle ortaya çıkmışlığı sorusuna yanıt aramak için farklı araştırmalar yapılmıştır (Tablo 1).

Tablo 1: Prefrontal korteksin 1H MRS ile görüntülendiği çalışmalar

| Yazarlar | Bölge | Örneklem | Sonuç |
|-------------------------------|-------------------------------|--------------------------|---|
| Delamillieure ve ark 2002 (2) | Sağ ve sol PFK | 17 şizofreni, 14 kontrol | 2 grupta sağ PFK'de anlamlı NAA/Cr azalması |
| Steel ve ark 2001 (3) | Sol ve sağ PFK beyaz cevher | 10 şizofreni, 10 kontrol | 2 bölgede anlamlı olmayan azalmış NAA düzeyi |
| Callicot ve ark 2000 (4)) | DLPFK | 36 şizofreni, 73 kontrol | Anlamlı düşük NAA/Cr, NAA/Cr oranı negatif belirtilerle ters ilişkili |
| Bertolino ve ark 1996 (5)) | DLPFK, inferior frontal girus | 10 şizofreni, 10 kontrol | NAA dorsolateralde anlamlı düşük |
| Omori ve ark 2000 (7) | Frontal korteks | 20 şizofreni, 16 kontrol | NAA/Cr ve Cho/Cr oranlarında anlamlılık saptanmamış |
| Heimberg ve ark 1998 (8) | Sol PFK beyaz madde | 24 şizofreni, 39 kontrol | Atipik antipsikotik alanlarda NAA yüksek olmaya eğilimli |
| Fukuzako ve ark 1995 (9) | Frontal lob | 15 şizofreni, 15 kontrol | Anlamlı azalmış NAA/Cr ve NAA/Cho oranları |
| Deicken ve ark 1998 (10) | Sağ ve sol DLPFK | 24 şizofreni, 15 kontrol | Solda anlamlı NAA azalması |
| Emül ve ark 2004 (19) | Bilateral medial PFK | 11 şizofreni, 11 kontrol | Anlamlı düşük NAA/Cr oranı |
| Buckley ve ark 1994 (21) | Frontal lob | 28 şizofreni, 20 kontrol | Erkek hastalarda anlamlı azalmış NAA |

DLPFK; Dorsolateral prefrontal korteks, PFK; Prefrontal korteks, NAA; N- asetil aspartat, Cr; Kreatinin, Cho; Kolin

'H-MRS' de NAA düzeyleri nöronal bütünlüğün ve canlılığın göstergesi olarak kabul edilmektedir (5). Bu nedenle NAA değişikliklerinin nöronal patolojiden kaynaklanabileceği düşünülmüştür. Şizofreni olgularında

artmış kolin pikinin artmış membran yıkımını gösterebileceği belirtilmiştir (6). PFK'da yapılan MRS çalışmalardan hiçbirinde nörodejenerasyonu gösteren kolin piki değişiklikleri saptanmamıştır. Bazı çalışmalar (7,8) dışında sıkılıkla NAA veya NAA/Cr oranı değişiklikleri saptanmıştır (2-5,9,10,19,21). Bu değişiklikler şizofrenide çoğunlukla NAA azalması şeklindedir. Bu durum, nöron bütünlüğünde ve canlılığında değişim olduğu yorumuna yol açmıştır. Diffüzyon MR görüntüleme beynin yapısal bozukluklarını saptamada duyarlı bir tekniktir (3). Steel ve arkadaşlarının (3) frontal NAA azalmasına karşın eş zamanlı çekilen diffüzyon MR ile bu bölgelerde yapısal bozukluk saptayamamaları nörodejenerasyon hipotezini sekteye uğratmıştır.

Anterior Singulat Korteks ve Temporal Loblar

Anterior singulat korteks (ASK) limbükları güçlü resiprokal bağlantıları olan bir allokortikal bölgedir ve frontal kontrol sisteminin önemli bir katılımcısı olduğu düşünülmektedir. Temporal bölge ile ilgili farklı

MR çalışmalarında, işitsel varsanıların şiddeti ile sol superior temporal girus hacminde azalma arasında pozitif korelasyon ve ilk epizot şizofrenide azalmış temporal lop hacmi (20), negatif belirtili şizofrenlerde değişim

Tablo 2: ASK ve temporal lobların 1H MRS ile görüntünlendiği çalışmalar

| Yazarlar | Bölge | Örneklem | Sonuç |
|----------------------------|--|--|---|
| Çetin ve ark 2004 (25) | Sağ temporal lob | 13 ilk epizot, 15 kronik şizofreni ve 10 kontrol | Kroniklerde NAA anlamlı düşük, ilk epizotlarda Cr ve Cho anlamlı yüksek |
| Callicot ve ark 2000 (4) | Anterior ve posterior SK | 36 şizofreni, 73 kontrol | NAA/Cr, Cho/Cr oranları anlamlı değil; negatif belirti şiddeti ile NAA/Cr oranı arasında negatif korelasyon |
| Moore ve ark 2002 (26) | Bilateral medial temporal loblar | 20 şizofreni, 20 kontrol | Her iki grupta sol tarafta anlamlı Cho/Cr düşüklüğü |
| Bertolino ve ark 1996 (5) | Anterior ve posterior SK | 10 şizofreni, 10 kontrol | NAA/Cr, NAA/Cho oranları anlamlı değil |
| Deicken ve ark 1997 (27) | Bilateral ASK | 26 şizofreni, 16 kontrol | Anlamlı NAA azalması |
| Heimberg ve ark 1998 (6) | Hipokampusu dışlanılmış sol temporal lob | 24 şizofreni, 39 kontrol | Artma eğilimli myoI/Cr |
| Fukuzako H ve ark 1995 (8) | Medial temporal lob | 15 şizofreni, 15 kontrol | Azalmış NAA/Cr ve NAA/Cho ve artmış Cho/Cr |
| Buckley ve ark 1994 (10) | Temporal lob | 28 şizofreni, 20 kontrol | NAA ve Cho düzeyleri açısından anlamlı fark saptanmamış |

SK; Singulat korteks, ASK; Anterior singulat korteks, ml; Miyoinozitol, diğer kısaltmalar tablo 1 ile aynıdır.

miş temporal bölge asimetrisi (22), sadece pozitif belirtili şizofrenide temporal hacimde azalma (23) ve erken başlangıçlı şizofrenide normal temporal lop (24) gibi sonuçlar bildirilmiştir. Bu bulgular araştırmacıları temporal bölge ile ilgili MRS çalışmalarına yönlendirmiştir (Tablo 2).

Çetin ve arkadaşlarının (25) yaptığı çalışmada ilk epizod psikoz ve kronik psikoz tanılı (hastalık süresi iki yıldan daha fazla) hastalar ile sağlıklı bireyleri karşılaştırılmıştır. Kronik hastalığı olan bireylerde sağlıklıılara oranla temporal lop NAA anlamlı olarak düşük, ilk episod tanılı kişilerde ise temporal Cr ve Cho anlamlı olarak yüksek saptanmıştır. Ancak bu tür çalışmalarında uzun süreli izleme gereklidir. İlk epizod psikoz tanısı alanların ne kadarının şizofreniform olacağı veya 6 aydan uzun sürüp şizofreni tanısı alacağı göz önünde tutulmalıdır. Moore ve arkadaşları (26), 20 şizofreni ve 20 sağlıklı bireyin bilateral temporal loblarını karşılaştırırları çalışmada her iki grupta sol taraf Cho/Cr düşüklüğü saptamışlardır. Yazarlar bu düşüklüğü membran-daki işlevlerle açıklamaya çalışmışlardır. Çok az değiştiği söylenen Cr, gri maddede daha fazla bulunmakta-dır (16,17). Bu çalışmada sol taraf Cho/Cr oranı düşüklüğünün, temporal lop gri madde fazlalığından kaynaklanabilecegi düşünülebilir. Fukuzako ve arkadaşları (9) hastalık başlangıç yaşı ile medial temporal lop NA-

A/Cho ve NAA/Cr arasında pozitif korelasyon bulmuşlardır. Bu çalışmada hastalığın başlangıç yaşıının nöro-kimyasal metabolitler üzerine olası etkileri tartışılmıştır.

Hipokampus ve Talamus

Talamusun prefrontal bölge, ventral tegmental alan, hipokampus ve bazolateral amigdala ve nukleus akkumbensle nörotransmitterler aracılığıyla ilişkileri olması nedeniyle, şizofrenide bu bölgenin etkilenmesi de beklenir. Tablo 3'te bu bölgelerle ilgili MRS çalışmaları özetlenmiştir.

Delamillieure ve arkadaşları (2) şizofrenide hipokampal NAA/Cr oranı ile hastalığın başlama yaşı arasında anlamlı zıt ilişki saptamış ve geç başlama yaşıının nörodejeneratif süreçlerle ilişkili olabileceğini öne sürmüştür. Bu çalışmada hem şizofreni hem de sağlıklı bireylerde yaş ile talamik NAA/Cr oranı arasında negatif korelasyon bulunmuş ve NAA/Cr oranının talamik yaşılanmanın belirteci olabileceği yorumu yapılmıştır. Delamillieure ve arkadaşlarının (28) daha önceki bir çalışmada, yaşlı şizofrenlerin talamuslarında NAA düşük bulunmuş ve bu bölgenin yaş etkilerine daha duyarlı olabileceği ileri sürülmüştür. Ende ve arkadaşları (29) 15'er kişilik şizofreni ve sağlıklı kontrol grubunda sağ ve sol mediodorsal talamusu karşılaştırmışlardır.

Tablo 3: Hipokampus ve talamusun 1H MRS ile görüntünlendiği çalışmalar

| Yazarlar | Bölge | Örneklem | Sonuç |
|--------------------------------|--------------------------------|--|---|
| Delamillieure ve ark 2000 (28) | Sağ ve sol Talamus | 27 şizofreni, 24 kontrol | NAA/Cr ve Cho/Cr oranları bakımından anlamlılık yok |
| Ende ve ark 2001 (29) | Sağ ve sol mediodorsal talamus | 15 şizofreni, 15 kontrol | Bilateral azalmış NAA ve Cho düzeyleri, sağ ve sol NAA düzeyleri arasında pozitif korelasyon |
| Deicken ve ark 2000 (30) | Sağ ve sol Talamus | 17 erkek şizofreni, 10 erkek kontrol | Bilateral anlamlı azalmış NAA düzeyi |
| Spaniel ve ark 2003 (32) | Anterior Hipokampus | Şizofreni ve etkilenmemiş monozygot ikizi | Etkilenmiş bireyde NAA/Cr daha düşük |
| Delamillieure ve ark 2002 (2) | Hipokampus, talamus | 17 şizofreni ve 14 kontrol | NAA ve Cho bakımından anlamlı fark yok, hipokampal NAA/Cr oranı ile hastalık başlangıç yaşı arasında negatif korelasyon |
| Fahr ve ark 2002 (33) | Hipokampus | 15 şizofreni, 15 kontrol | Anlamlı azalmış NAA/Cr |
| Deicken ve ark 1998 (10) | Bilateral Hipokampus | 30 kronik şizofreni, 18 kontrol | Bilateral anlamlı azalmış NAA/Cr |
| Bertolino ve ark 1996 (5) | Hipokampus ve talamus | 10 şizofreni, 10 kontrol | Hipokampuste NAA anlamlı düşük |
| Maier ve ark 1995 (34) | Bilateral Hipokampus | 25 şizofreni 32 kontrol | Sağda azalmış NAA, Cho, Cr düzeyleri |
| Nasrallah ve ark 1994 (35) | Bilateral Hipokampus-amigdala | 11 şizofreni 11 kontrol | 2 tarafta NAA/Cr azalması ama sağ tarafta anlamlılık var |
| Auer ve ark 2001 (36) | Bilateral talamus | 32 akut ve tedavi alan şizofreni, 17 kontrol | Solda anlamlı azalmış NAA düzeyi |
| Omori ve ark 2000 (7) | Sol Talamus | 20 şizofreni, 16 kontrol | Anlamlı azalmış NAA/Cr ve Cho/Cr oranları |

Kısaltmalar tablo 1 ve 2 ile aynıdır.

Hasta grubunda istatistiksel olarak anlamlı olmayan bilateral azalmış NAA ve Cho düzeyleri ve iki bölge arasında NAA düzeyleri bakımından ilişki bildirmişlerdir. Cho düzeyindeki azalmanın, şizofrenide gliazisin olmadığını ve azalmış membran oluşumunu veya düşük sentez aktivitesini gösterdiğini belirtmişlerdir. Deicken ve arkadaşları (30) sağ ve sol talamusta anlamlı azalmış NAA/Cr oranını ve hasta grubunda sağ ve sol talamus arasında güçlü pozitif korelasyonu saptamışlardır. Talamus ve hipokampus bölgeleri ile ilişili bilişsel fonksiyonlar, şizofrenide bazen hastlığın başlangıcından itibaren aynı düzeyde kalırken, bazı hastalarda tedavi sonrası düzenebilmiştir. Şizofrenideki bu heterojen gidiş çalışmalarındaki farklı sonuçları açıklayabilir (31).

Bazal Ganglionlar ve Serebellum

Şizofreni araştırmalarında bilgisayarlı tomografi ve son yıllarda manyetik rezonans görüntülemelerle basal

ganglionlarda, kaudat nükleusta ve putamende değişiklikler saptanmıştır (37,38). Bu çalışmalarla saptanan nöroanatomik değişikliklerin başlangıç olarak hastalık süreci içinde geliştiği, dolayısıyla nörodejenerasyona işaret ettiği düşünülmüştür. Buna karşın daha hastalığın başlangıcında gösterilen ventriküler genişlemenin hastalık süresince değişmeden kalması nörogelişimsel bir bozukluk olabileceği tartışmasını doğurmuştur.

Düz göz takibi hareketlerinde bozulma, alt ekstremité ataksisi gibi klinik gözlemler ve görüntüleme yöntemleri sonrası şizofrenide serebellar disfonksiyon hipotezi ortaya atılmıştır. Son yıllarda teorik ve deneySEL tartışmalar şizofrenide kortiko-serebellar-talamik-kortikal bağlantılar üzerine yoğunlaşmıştır (Tablo 4).

Deicken ve arkadaşları (38) serebellar vermiste azalmış Cr'i yorumlamadan, Cr'nin beyin dışı kaynakları nedeniyle kolay olmadığını öne sürmüştür. Cr karaciğer ve böbrekte enzimatik biosentetik reaksiyonlardan kö-

Tablo 4: Bazal ganglionlar ve serebellumun 1H-MRS ile görüntülenmesi

| Yazarlar | Bölge | Örneklem | Sonuç |
|---------------------------|-----------------------------|--------------------------------------|--|
| Heimberg ve ark 1998 (8) | Sol basal ganglia | 24 şizofreni, 39 kontrol | Azalmaya eğilimli NAA/Cr |
| Fujimoto ve ark 1996 (37) | Bilateral basal ganglionlar | 14 şizofreni, 12 kontrol | Anlamlı azalmış bilateral NAA/Cho |
| Bertolino ve ark 1996 (5) | Putamen | 10 şizofreni, 10 kontrol | NAA ve Cho düzey ve oranlarında anlamlı farklılık yok |
| Deicken ve ark 2001 (38) | Serebellar vermis | 20 erkek şizofreni, 15 erkek kontrol | Anlamlı azalmış NAA, Cr düzeyleri, yaşla NAA arasında negatif korelasyon |
| Eluri ve ark 1998 (39) | Serebellum | 12 şizofreni, 8 kontrol | NAA/Cr, Cho/Cr, myol/Cr oranlarında anlamlı farklılık yok |
| Sharma ve ark 1992 (40) | Lateral ventrikül | 9 şizofreni, 9 kontrol | NAA/Cr, myol/Cr ve Cho/Cr oranlarında anlamlı farklılık yok |

Kısaltmalar tablo 1 ve 2 ile aynıdır.

ken alabilir. Bu nedenle şizofrenide hücresel enerji değişiklikleri olduğunu söylemek zordur. Yine de fosfokreatinin ATP'ye bağlı olması serebellar metabolizma değişikliklerini düşündürebilir. Eluri ve arkadaşlarının (39) serebellumda anlamlı fark bulamamalarının nedeni ise MRS özgünlüğünü etkileyebilecek 8 cm³ lük geniş sayılabilen bir alanda çalışmalarına bağlı olabilir.

Diğer Bölgeler

Auer ve arkadaşlarının (36) çalışmasındaki gliozis belirteci olan miyoinozitol (ml)'un artması, daha önceki şizofreni nöropatolojisi araştırmalarıyla uyumlu değildir. Gliozis dışında ml artışı, hiperosmolar durumlarında ve nörodejeneratif süreçlerde olabilmektedir. Ayrıca ml artışının ilaç etkisine bağlı bir epifenomen de olabileceği göz önünde bulundurulmalıdır. Tablo 5'te diğer bölgelerle ilgili çalışmalar özeti verilmiştir.

GLUTAMAT HİPOTEZİ ve PROTON MANYETİK REZONANS SPEKTROSKOPI ÇALIŞMALARI

Son yıllarda serbest radikallerin şizofrenide önemli olduğu bulgularıyla birlikte, insan beynde major eksitotoksik ajan olan glutamat nörodejenerasyon hipotezini gündemde tutmuştur. Bu hipoteze göre glutamat reseptörlerinin aşırı aktivasyonuyla nöronal iyonik gradyen bozulmakta ve eksitotoksiteseye yol açmaktadır (41). Bu toksite, dopamin ve başka monoaminerlerin de katılacağı antioksidan sistemin (glutatyon, aspartat, karnozin, süperoksit dismutaz vb.) bozulmasına ek olarak bu tür amino asitlerin presinaptik düzeyde yakalanamamasından da kaynaklanabilir (42). NAA sentezinin mitokondride olduğu bilinmektedir. Sentez reaksiyonu L-aspartat-N-asetil transferaz aracılığıyla

Tablo 5: Olası etkilendiği düşünülen bölgelerin 1H-MRS ile görüntülenmesi

| Yazarlar | Bölge | Örneklem | Sonuç |
|---------------------------|-------------------------------------|--|--|
| Bertolino ve ark 1996 (5) | Oksipital korteks Sentrum semiovale | 10 şizofreni, 10 kontrol | NAA, Cho ve NAA/Cr, Cho/Cr oranlarında anlamlı farklılık yok |
| Sharma ve ark 1992 (40) | Oksipital korteks | 9 şizofreni, 9 kontrol | NAA/Cr, myol/Cr ve Cho/Cr oranlarında anlamlılık yok |
| Emül ve ark 2004 (19) | Sol nukleus akkümbens | 11 şizofreni, 11 kontrol | Anlamlı azalmış NAA/Cr |
| Auer ve ark 2001 (36) | Parietal beyaz madde | 32 akut ve tedavi alan şizofreni, 17 kontrol | Solda anlamlı artmış Cho ve ml düzeyi |
| Eluri ve ark 1998 (39) | Pons | 12 şizofreni, 8 kontrol | Azalmış NAA/Cr |

Kısaltmalar tablo 1 ve 2 ile aynıdır.

gerçekleşmektedir. Sentezde kullanılan aspartatın kaynağı glutamat ve asetil koenzim-A'nın kaynağı ise piruvat veya 3-hidroksibüтирattır (20).

Şizofrenide *in vivo* glutamat ölçümleri oldukça azdır. Üç tesladan büyük MR cihazlarında sinyal gürültü oranı artar ve böylece daha küçük alanlardan metabolit ölçümü olanaklı hale gelir. Théberge ve arkadaşlarının (42) çalışmalarında şizofrenide glutamat modeli üzerinde durmuştur. Dört teslilik MR kullanılarak yüksek glutamin saptanmasının, şizofrenide artmış glutamerjik aktiviteyi gösterdiği yorumu yapılmıştır. Bu çalışmada fizyolojik olarak aktif glutamatın glutaminden üretildiği öne sürülmüştür. Glutamat astrositler tarafından alınır ve glutamine dönüştürülecek presinaptik nörona taşınır ve burada tekrar glutamata çevrilir. Bu nedenle yüksek glutaminin, düşük glutamerjik aktiviteyi de göstermesi mümkündür. Klasik tedavi alırken 8 haftalık olanzapin tedavisine geçilen 17 şizofren kişiye yapılan bir başka çalışmada, olanzapin tedavisi takiben serum glutamat düzeylerinde anlamlı artma bulunmuştur (43). Ancak çalışmayı tamamlamış örneklem sayısının azlığı sonucu tartışılabılır kılmaktadır. Tibbo ve arkadaşları (44) ergen dönemde yüksek riskli sağlıklı bireyler ile düşük risklarındaki sağlıklı ergenleri karşılaştırmıştır. Bulunan anlamlılık şizofrenide hem glutamat ile ilgili anomaliliklerin hem de nörogelişimsel bozukluğun lehinde değerlendirilmiştir (Tablo 6).

Tablo 6: Şizofrenide glutamat hipotezi ve ^1H -MRS görüntülemesi

| Yazarlar | Bölge | Örneklem | Sonuç |
|---------------------------|-----------------------------|--|---|
| Théberge ve ark 2002 (42) | Sol ASK | 21 hiç ilaç kullanmamış şizofreni, 21 kontrol | Glutamin düzeyleri anlamlı yüksek |
| Goff ve ark 2002 (43) | Sağ ve sol singulat korteks | Klasik tedavi alırken 8 haftalık olanzapin değişikliği yapılan 17 hasta | Anlamlı değişiklik yok, fakat negatif belirtilerde iyileşme görülenlerde anlamlı glutamat yükseliği |
| Tibbo ve ark 2004 (44) | Sağ medial frontal lob | 20 birinci derece yakını şizofreni olan sağlıklı ve 22 düşük riskli kişi | Riskli bireylerde anlamlı yüksek Glutamat/glutamin |
| Kegeles ve ark 2000 (45) | Bilateral hipokampus | 10 erkek şizofreni, 10 kontrol | Solda Glx/Cho oranı anlamlı düşük, NAA/Cr düşme eğiliminde |
| Bertolino 1999 (46) | Bilateral DLPFK | 14 şizofreni, 14 kontrol | Anlamlı azalmış NAA/Cr ve GABA+Glu |
| Bartha ve ark 1997 (47) | Sol medial PFK ve Sol ASK | 10 hiç tedavi almamış şizofreni, 10 kontrol | Anlamlı artmış glutamin düzeyleri, normal NAA |
| Choe ve ark 1994 (48) | Sağ PFK beyaz madde | 23 hiç tedavi almamış kronik şizofreni, 10 kontrol | Anlamlı azalmış NAA/Cr ve Cho/Cr, anlamlı artmış GABA+Glu/Cr |

Glx; Glutamin, GABA; γ -aminobüük asit, Glu; Glutamat, diğer kısaltmalar tablo 1 ve 2 ile aynıdır.

NÖROGELİŞİMSEL HİPOTEZ ve PROTON MANYETİK REZONANS SPEKTROSKOPI ÇALIŞMALARI

Araştırmalardaki çelişkili sonuçlar ve hastalığı tam açıklayamayan hipotezler yeni görüşlere ve bu sonuçların yeniden değerlendirilmesine neden olmuştur. 1980'lerde şizofreninin nörogelişimsel bir yanının olduğu varsayımları belirmeye başlamış, bozukluğun doğumdan önce veya doğum sırasında ortaya çıkan gelişimsel anormalliklere bağlı olduğu ileri sürülmüştür (49). Yaşamın çok erken döneminde gerçekleşen nöronal göçün bozulması alta yatan patolojiyle ilişkilendirilmiştir. Psikopatoloji, etkilenmiş bu nöronal sistemlerin olgunlaştiği erken erişkin dönemde ortaya çıkmaktadır. Bu görüşlerin kanıtları için şizofreniform bozukluğu olanlar, çocukluk dönemi şizofreni bozukluğu olanlar ya da ailesinde şizofreni öyküsü olan şizofreni hastalarının beyin biyokimyası çalışılmıştır (Tablo 7).

Nörogelişimselliğe atıf yapılan çalışmalarda araştırmaların metodları ile ilgili sınırlılıklar vardır. Örneğin Bertolino ve arkadaşları (50) çalışmalarında, sadece dördü ilaç naif iken, 4 hafta veya daha az süredir 19'u atipik, biri tipik antipsikotik ilaç kullanan şizofreniform hastalarda çalışmışlardır. Bu durum sonuçları sağlıklı olarak değerlendirmeyi güçlendirmiştir. Spektroskopı çalışmaları sonuçlarının çoğu değişikliklerin hasta-

Tablo 7: Şizofrenide nörogelişimsel hipotez ve ^1H -MRS görüntülemesi

| Yazarlar | Bölge | Örneklem | Sonuç |
|----------------------------|---|--|---|
| Bertolino ve ark 2003 (50) | Bilateral DLPFK ve hipokampus, anterior ve posterior SK, talamus, putamen, superior temporal girus, oksipital korteks, sentrum semiovale | 24 şizofreniform, 24 kontrol | Sadece DLPFK ve hipokampuste anlamlı azalmış NAA/Cr ve NAA/Cho |
| Bartha ve ark 1999 (51) | Sol medial temporal lob | 11 ilk epizot şizofreni, 11 kontrol | NAA, Cho ve Glutamat-glutamin düzeylerinde anlamlı fark saptanmamış |
| Brooks ve ark 1998 (52) | Sol frontal lob | 16 çocuk şizofreni, 12 kontrol | Anlamlı azalmış NAA/Cr |
| Bertolino ve ark 1998 (53) | Bilateral DLPFK ve hipokampus, anterior ve posterior SK, sentrum semiovale, putamen, superior temporal girus, oksipital ve orbitofrontal korteks, | 14 çocuk şizofreni, 14 kontrol | Sadece DLPFK ve Hipokampuste Anlamlı azalmış NAA/Cr |
| Thomas ve ark 1998 (54) | Bilateral PFK gri madde | 13 çocuk ve ergen şizofreni, 12 sağlıklı | Anlamlı azalmış NAA/Cr oranı |
| Hagino ve ark 2002 (55) | Talamus ve inferior frontal girus | 13 genç şizofreni, 13 kontrol | Sadece Frontalde NAA/Cho anlamlı düşük |
| Fukuzako ve ark 2000 (56) | Sol medial temporal lob | 64 şizofreni, 51 kontrol | Azalmış NAA/Cr oranı |

Kısaltmalar tablo 1 ve 2 ile aynıdır.

lik süresi ile ilişkili bulunmaması bozukluğun nörogelişimsel olabileceğini düşündürmektedir. Ayrıca ilk epizot psikoz ve sağlıklı kontrol grubunda yapılan bir çalışmada, genel olarak hastalar ve sağlıklı bireyler arasında Cho ve Cr değişiklikleri saptanmamışı rahatsızlığın nörogelişimsel yönünü desteklemektedir (51).

İLAÇ ETKİSİNİN ARAŞTIRILMASI ve PROTON MANYETİK REZONANS SPEKTROSKOPI ÇALIŞMALARI

^1H -MRS çalışmalarında genellikle kronik hastalarda spesifik bölgeler çalışılmış ve metabolit değişiklikleri saptanmıştır. Ancak hiç tedavi almamış veya yeni tanı almış şizofren bireylerde ^1H -MRS çalışmaları sınırlı sayıdadır ve sonuçlar farklılıklar içermektedir. Genel olarak sonuçlar ele alınırsa başta frontal bölgeler olmak üzere yapılan bölgelerde düşük NAA/Cr saptanmıştır (57-59). Ancak bu düşünlük acaba hastalığa özgü bir belirteç mi yoksa alınan ilaçlara bağlı epifenomen mi sorusundan yola çıkılarak ilaç değişkeni araştırılmaya başlanmıştır (Tablo 8).

Araştırmaların hiçbirinde alınan ilaç dozu ile beyin metabolitleri arasında ilişki bulunamamıştır. Bustillo ve arkadaşları (58) ilaç etkisi veya hastalık progresyonunu desteklememektedir. Bertolino ve arkadaşları (61) dor-

arastırmak üzere bir çalışma planlanmışlardır. Başlangıçta anlamlı fark bulamazken bir yıllık tedavi sonrası NAA/Cr oranında sol prefrontal kortekste anlamlılık bulmuşlardır. Bu çalışmada NAA azalması nöron kaybına ikincil olabilir mi diye düşünülmüştür. Ancak 12.6 cm²'lik geniş alan kullanımı NAA normalliğini ve düşüklüğünü yorumlamayı güçlitmektedir. NAA azalması daha çok nöron fonksiyon değişikliğine bağlı gibidir. Ayrıca bu çalışmada üç hastanın NAA veya öteki metabolitlere etkisi bilinmeyen benztropin ve beta bloker gibi ilaçları kullanması ve örneklem sayısının küçüklüğü yorumu genelleştirmeyi zorlaştırmaktadır. Daha önce ratlarda 1 haftalık atipik/tipik tedavi alımının NAA/Cho oranına yansımıdiği bulunmuştur (60). Bir yıl sonunda NAA/Cr oranı azalışı, hastalık progresyonundan çok ilaca bağlanabilir. Ancak uzamına değerlendirilen şizofren bireylerde MR görüntülerinde hastalığın erken dönemlerinde beyin dokusunda azalma tespit edilmesi nedeniyle hastalık progresyonunun etkisi de dışlanamaz. NAA azalması nöron kaybına veya nöron disfonksiyonuna bağlı olabilir. Buna karşın şizofrenide tipik/atipik ilaçlı hayvan çalışmaları ve postmortem çalışmalar nöron kaybını ve nörodejenerasyonu desteklememektedir. Bertolino ve arkadaşları (61) dor-

Tablo 8: Şizofrenide ilaç etkisinin araştırılması ve 1H-MRS görüntülemesi

| Yazarlar | Bölge | Örneklem | Sonuç |
|----------------------------|--|---|---|
| Bustillo ve ark 2001 (57) | Sol frontal korteks ve kaudat çekirdek | 23 norodol, 23 klozapin kullanan şizofreni/şizoaffektif, 23 kontrol | 2 bölgедe de haloperidol grubunda anlamlı düşük NAA |
| Bustillo ve ark 2002 (58) | Sol PFK ve oksipital loblar | 10 şizofreni, 10 sağlıklı | Başlangıçta fark yokken 1 yıl tedavi sonrası anlamlı düşük NAA/Cr, oksipitalde fark yok |
| Cecil ve ark 1999 (59) | Sol DLPFK | 8 hiç ilaç kullanmamış şizofreni, 14 kontrol | Anlamlı azalmış NAA düzeyi, hafif artmış Cho/Cr |
| Bertolino ve ark 2001 (61) | DLPFK ve hipokampus | 23 şizofreni hastası tedavilickrken ve 2 haftalık tedavisiz dönemde sonrası | Tedavi altında anlamlı yüksek DLPFK NAA düzeyi, Hipokampuste anlamlılık yok |
| Braus ve ark 2002 (62) | ASK | 10 tipik ve 11 atipiğe geçilmiş şizofreni hastası | Ne kadar uzun atipiğe tedavi o kadar yüksek NAA/Cr |
| Braus ve ark 2001 (63) | ASK | 11 tipik 12 atipiğe geçilmiş hasta | Tipik tedavide NAA anlamlı düşük, atipiğe tedavi süresi ile NAA arasında ilişki |
| Bustillo ve ark 2002 (64) | Sol kaudat çekirdek | 13 hiç ilaç kullanmamış şizofreni, 12 kontrol | Anlamlı yüksek Cho düzeyi |
| Cecil ve ark 1999 (59) | Medial temporal lob | 10 hiç ilaç kullanmamış şizofreni, 10 kontrol | Anlamlı azalmış NAA düzeyi, hafif azalmış Cho/Cr oranı |

Kısaltmalar tablo 1 ve 2 ile aynıdır.

solateral prefrontal kortekste (DLPFK), 4 haftalık tedavi sonrası NAA'yı anlamlı yüksek saptamışken, hipokampuste tedavi değişkeniyle bir ilişki bulamamışlardır. Sıralama etkisini (order effect) azaltmak için 4 hastaya ilaçlı-ilaçsız-ilaçlı olmak üzere üç fazda da çekim yapılmış ve sonuç çalışmanın önceki bulgularını desteklemiştir. Antipsikotiklerin bölgeye özgü etkileri olabileceği yönünde ilk yayın olması nedeniyle önemli olan bu çalışmada ilaçsız sürenin nispeten kısa olması ve ilaçsız dönem çekimlerinde hastaların daha gergin ve kaygılı olmaları sonuçları tartışırlar kılmaktadır.

ŞİZOFRENİDE ALT TIPLER ve PROTON MANYETİK REZONANS SPEKTROSKOPI ÇALIŞMALARI

Şizofrenide beyin biyokimyası görüntüleme çalışmalarının çoğunda şizofreni alt tipleri gözardı edilmiştir. Bilindiği gibi şizofreni alt tipleri sınıflandırması tamamen klinik görünümü dayalı olarak yapılmıştır. Bu alt tiplemleri yordayacak hiçbir biyolojik belirteç saptanmamıştır. Fukuzako ve arkadaşları (65) alt tiplerin biyolojik kökenlerinin araştırılmasının planlandığı 40 şizofrenik birey ve

Tablo 9: Şizofrenide alt tipler ve 1H-MRS görüntüleme çalışmaları

| Yazarlar | Bölge | Örneklem | Sonuç |
|--------------------------------|-------------------------|---|---|
| Fukuzako ve ark 1999 (65) | Sol medial temporal lob | 40 şizofreni, 40 kontrol | Hastalarda anlamlı azalmış NAA/Cr, paranoid tipe göre dezorganize tipte azalmış NAA/Cr ve Cho/Cr; ayrılmamış tipte azalmış NAA/Cr |
| Özdemir ve ark 2004 (66) | Sol frontal korteks | 14 deficit, 13 nondeficit şizofreni ve 10 kontrol | Defisitlerde anlamlı azalmış NAA |
| Delamillieure ve ark 2000 (67) | Sağ ve sol medial PFK | 5 deficit, 17 nondeficit, 21 kontrol | Defisitlerde anlamlı azalmış NAA/Cr |
| Ohara ve ark 2000 (68) | Lentiküler çekirdek | 10 basit şizofreni, 10 kontrol | NAA/Cr, Cho/Cr ve NAA/Cho oranlarında anlamlı fark saptanmamış |

Kısaltmalar tablo 1 ve 2 ile aynıdır.

40 sağlıklı kontrol gruplarından oluşan çalışmalarında, hastalarda anlamlı azalmış NAA/Cr oranı; paranoid tipe oranla dezorganize tipte istatistiksel olarak anlamlı olmayan azalmış NAA/Cr ve Cho/Cr oranları ve yine ayırmamış tipte istatistiksel olarak anlamlı olmayan azalmış NAA/Cr oranı bulmuşlardır. Bu sonuçları, dezorganize ve ayırmamış tip şizofreni hastalarının sol medial temporal loblarında daha fazla nöronal bütünlük veya işlevsellik kaybı olabileceği ile açıklamaya çalışmışlardır (Tablo 9).

SONUÇ

Sonuç olarak şizofreni şu ana dek yapılan çalışmalarla eşlik eden nöroanatomik ve nörokimyasal değişikliklerin tam olarak aydınlatılamadığı bir bozukluktur. Çalışmaların çoğunda ilgili bölgelerde NAA azalması saptanmıştır. NAA'in nöronlardaki işlevi hâlâ tam anlaşılmamış değildir. Glutamattaki değişim dolaylı ola-

ra NAA'ı etkileyebilir. Çalışmaların hiçbirinde ilaç dozu ile beyin metabolitleri arasında ilişki kurulamamıştır. Metabolitlerin konsantrasyonunun bulunduğu maddeye göre değişmesi gri madde ve beyaz madde ayrimının önemli olduğunu göstermektedir. Bu nedenle araştırmalardaki metabolitlerin birbirlerine oranlanmaları da bulgularımızı etkileyebilecektir. Örneklem sayılarının azlığı sonuçları yorumlamayı ve genelleştirmeyi zorlaştırmaktadır. Beyinde bir lobun belirlenen bir bölgesinin kendi başına işlev görecek kadar otonom olmaması nedeniyle özgün bölgelerin çalışılması doğru sonuçlar vermeyebilir. Belki de tüm lobun görüntülentiği çalışmalar yapılmalıdır. Ne var ki bu MRS verilerinin özgünlüğünü azaltacaktır. Yine MRS çalışmalarında beyin omurilik sıvısının göz önünde tutulduğu yazılım programlarına gereksinim vardır. Tedavi altında olma ve hastalığın ağırlık derecesi gibi sonuçları bulandıran faktörler de göz önünde bulundurulmalıdır.

Kaynaklar:

- Ceylan ME, Çetin M. Araştırma ve Klinik Uygulamada Biyolojik Psikiyatri: Şizofreni. 1. Cilt. 3. Baskı. İstanbul: Yerkür, 2005
- Delamillieure P, Constans JM, Fernandez J, Braze P, Benali K, Courtheoux P, Thibaut F, Petit M, Dollfus S. Proton magnetic resonance spectroscopy (1H MRS) in schizophrenia: investigation of the right and left hippocampus, thalamus, and prefrontal cortex. *Schizophr Bull* 2002;28:329-339
- Steel RM, Bastin ME, McConnell S, Marshall I, Cunningham-Owens DG, Lawrie SM, Johnstone EC, Best JJK. Diffusion tensor imaging (DTI) and proton magnetic resonance spectroscopy (1H MRS) in schizophrenic subjects and normal controls. *Psychiatry Res Neuroimaging* 2001;106:161-170
- Callicott JH, Bertolino A, Egan MF, Mattay VS, Langheim FJP, Weinberger DR. Selective relationship between prefrontal N-acetylaspartate measures and negative symptoms in schizophrenia. *Am J Psychiatry* 2000; 157:1646-1651
- Bertolino A, Nawroz S, Mattay VS, Duy JH, Moonen CTW, Barnett AS, Frank JA, Tedeschi G, Weinberger DR. A specific pattern of neurochemical pathology in schizophrenia as assessed by multislice proton magnetic resonance spectroscopic imaging. *Am J Psychiatry* 1996;153:1554-1563
- Ende G, Braus DF, Walter S, Weber-Fahr W, Soher B, Maudsley AA, Henn FA. Effects of age, medication, and illness duration on the N-acetyl aspartate signal of the anterior cingulate region in schizophrenia. *Schizophr Res* 2000;41:389-395
- Omori M, Murata T, Kimura H, Koshimoto Y, Kado H, Ishimori Y, Ito H, Wada Y. Thalamic abnormalities in patients with schizophrenia revealed by proton magnetic resonance spectroscopy. *Psychiatry Res Neuroimaging* 2000; 98 (3):155-162 Heimberg C, Komoroski R, Lawson WB, Cardwell D, Karson C. Regional proton magnetic resonance spectroscopy in schizophrenia and exploration of drug effect. *Psychiatry Res Neuroimaging* 1998; 83:105-115
- Fukuzako H, Takeuchi K, Hokazono Y, Fukuzako T, Yamada K, Hashiguchi T, Obo Y, Ueyama K, Takigawa M, Fujimoto T. Proton magnetic resonance spectroscopy of the left medial temporal and frontal lobes in chronic schizophrenia: preliminary report. *Psychiatry Res* 1995;61:193-200
- Deicken RF, Zhou L, Schuff N, Fein G, Weiner MW. Hippocampal neuronal dysfunction in schizophrenia as measured by proton magnetic resonance spectroscopy. *Biol Psychiatry* 1998; 43:483-488
- Zimmerman RA, Wang Z. Proton Magnetic resonance spectroscopy. *Crit Rev Neurosurg* 1999; 9: 161-166
- Wiederman D, Schuff N, Matson GB, Soher BJ, Du AT, Maudsley A, Weiner MW. Short echo time multislice proton magnetic resonance spectroscopic imaging in human brain: metabolite distributions and reliability. *Magnetic Resonance Imaging* 2001; 19: 1073-1080
- Kizu O, Yamada K, Nishimura T. Proton chemical shift imaging in pick complex. *AJNR Am J Neuroradiol* 2002; 23: 1387-1392
- Yang D, Korogi Y, Sugahara T, Kitajima M, Shigematsu Y, Liang L, Ushio Y, Takashi M. Cerebral gliomas: prospective comparison of multivoxel 2D chemical shift imaging proton MR spectroscopy, echoplanar perfusion and diffusion-weighted MRI. *Neuroradiol* 2002; 44: 656-666
- Angelie E, Bonmartin A, Boudraa A, Gonaud P-R, Mallet J-J, Sapppay-Mariner D. Regional differences and metabolic changes in normal aging of the human brain: Proton MR spectroscopic imaging study. *AJNR Am J Neuroradiol* 2002; 119-127
- Danielsen ER, Ross B. Magnetic Resonance Spectroscopy Diagnosis of Neurological Diseases. California: Marcel Dekker 1995

17. Miller BL. A review of chemical issues in 1 H-NMR spectroscopy: N-acetyl-L-aspartate, creatine and choline. *NMR Biomedicine* 1991; 4: 47-52
18. Buchsbaum MS, Ingvar DH, Kessler R, Waters RN, Cappelletti J, van Kammen DP, King AC, Johnson JL, Manning RG, Flynn RW, Mann LS, Bunney WE Jr, Sokoloff L. Cerebral glucography with positron tomography. Use in normal subjects and in patients with schizophrenia. *Arch Gen Psychiatry* 1982; 39: 251-259.
19. Emül M, Geçici Ö, Kaya B, Alkan A ve Ünal S. Şizofreni hastalarında MRS ölçümleri ve psikometrik değerlendirmelerle ilişkisi. 40.Uluslararası Psikiyatri Kongresi Özeti Kitabı 28 Eylül 3 Ekim 2004, Kuşadası:279-281
20. Emül HM. Şizofreni hastalarında MRS ölçümleri ve psikometrik değerlendirmelerle ilişkisi. Yayınlanmamış Tez Çalışması, İnönü Üniversitesi, Psikiyatri AD, Malatya 2004
21. Buckley PF, Moore C, Long H, Larkin C, Thompson P, Mulvany F, Redmond O, Stack JP, Ennis JT, Waddington JL. 1 H-magnetic resonance spectroscopy of the left temporal and frontal lobes in schizophrenia: clinical, neurodevelopmental, and cognitive correlates. *Biol Psychiatry* 1994;36:792-800
22. Barr WB, Ashtari M, Bilder RM, Degreif G, Lieberman JA. Brain morphometric comparison of first-episode schizophrenia and temporale lobe epilepsy. *Br J Psychiatry* 1997;170:515-519
23. Wible CG, Shenton ME, Hokama H, Kikinis R, Jolesz FA, Metcalf D, McCarley RW. Prefrontal cortex and schizophrenia: A quantitative magnetic resonance imaging study. *Arch Gen Psychiatry* 1995; 52: 279-288.
24. Jacobsen LK, Giedd JN, Vaituzis AC, Hamburger SD, Rajapakse JC, Frazier JA, Kayser D, Lenane MC, McKenna K, Gordon CT, Rapoport JL. Temporal lobe morphology in childhood-onset schizophrenia. *Am J Psychiatry* 1996;153:355-361
25. Başoğlu C, Çetin M, Öner Ö, Ebrinç S, Semiz ÜB, Kandilcioğlu H, Şilit E, Kızılıkaya E. İlaç Kullanmamış İlk Psikotik Atak Hastaları ile Kronik Şizofreni Hastalarında Sağ Talamus ve Temporal Korteks Metabolit Seviyelerinin MRS ile Karşlaştırılması. *Türk Psikiyatri Dergisi*, 2006; 17(2): 85-92.
26. Moore CM, Bonello CM, Sherwood AR, Cohen BM, Renshaw PF, Yurgulen-Todd DA. Mesial temporal lobe Cho to Cr(Cr) ratio asymmetry in chronic schizophrenics. *Schizophr Res* 2002; 57:35-42
27. Deicken RF, Zhou L, Schuff N, Weiner MW. Proton magnetic resonance spectroscopy of the anterior cingulate region in schizophrenia. *Schizophr Res* 1997; 27:65-71
28. Delamillieure P, Constans JM, Fernandez J, Braze P, Dollfus S. Proton magnetic resonance spectroscopy (1 H-MRS) of the thalamus in schizophrenia. *Eur Psychiatry* 2000;15(8): 489-491
29. Ende G, Braus DF, Walter S, Henn FA. Lower concentration of thalamic n-acetylaspartate in patients with schizophrenia: a replication study. *Am J Psychiatry* 2001; 158:1314-1316
30. Deicken RF, Johnson C, Eliaz Y, Schuff N. Reduced concentrations of thalamic n-acetylaspartate in male patients with schizophrenia. *Am J Psychiatry* 2000; 157:644-647
31. Nguimfack MPC. Do the glutamate excitotoxicity theory and potential free radicals implication in schizophrenia aetiopathogenesis provide a new enlightenment to links between: genome, environment and biology in the determinism of that disorder? *Encephale* 2002; 28: 147-153
32. Spaniel F, Hajek T, Tintera J, Harantova P, Dezortova M, Hajek M. Differences in fMRI and MRS in a monozygotic twin pair discordant for schizophrenia (case report). *Acta Psychiatr Scand* 2003;107:155-158
33. Weber-Fahr W, Ende G, Braus DF, Bachert P, Soher BJ, Henn FA, Büchel C. A Fully Automated Method for Tissue Segmentation and CSF-Correction of Proton MRSI Metabolites Corroborates Abnormal Hippocampal NAA in Schizophrenia. *NeuroImage* 2002; 16: 49-60
34. Maier M, Ron MA, Barker GJ, Tofts PS. Proton magnetic resonance spectroscopy: an in vivo method of estimating hippocampal neuronal depletion in schizophrenia. *Psychol Med* 1995; 25:1201-1209
35. Nasrallah HA, Skinner TE, Schmalbrock P, Robitaille PM. Proton magnetic resonance spectroscopy of the hippocampal formation in schizophrenia: a pilot study. *Br J Psychiatry* 1994;165: 481-485
36. Auer DP, Wilke M, Grabner A, Heidenreich JO, Bronisch T, Wetter TC. Reduced NAA in the thalamus and altered membrane and glial metabolism in schizophrenic patients detected by 1 H-MRS and tissue segmentation. *Schizophr Res* 2001; 52: 87-99
37. Fujimoto T, Nakano T, Takano T, Takeuchi K, Yamada K, Fukuzako T, Akimoto H. Proton magnetic resonance spectroscopy of basal ganglia in chronic schizophrenia. *Biol Psychiatry* 1996;40:14-18
38. Deicken RF, Feiwell R, Schuff N, Soher B. Evidence for altered cerebellar vermis neuronal integrity in schizophrenia. *Psychiatry Res Neuroimaging* 2001;107:125-134
39. Eluri R, Paul C, Roemer R, Boyko O. Single-voxel proton magnetic resonance spectroscopy of the pons and cerebellum in patients with schizophrenia: a preliminary study. *Psychiatry Res Neuroimaging* 1998; 84:17-26
40. Sharma R, Venkatasubramanian PN, Barany M, Davis JM. Proton magnetic resonance spectroscopy of the brain in schizophrenic and affective patients. *Schizophr Res* 1992;81:43-49
41. Begni S; Popoli M; Moraschi S; Bignotti S; Tura GB; Gennarelli M. Association between the ionotropic glutamate receptor kainate 3 (GRIK3) ser310ala polymorphism and schizophrenia. *Mol Psychiatry* 2002; 7: 416-418
42. Théberge J, Bartha R, Drost DJ, Menon RS, Malla A, Takhar J, Neufeld RW, Rogers J, Pavlosky W, Schaefer B, Densmore M, Al-Semaan Y, Williamson PC. Glutamate and Glutamine Measured With 4.0 T Proton MRS in Never-Treated Patients With Schizophrenia and Healthy Volunteers. *Am J Psychiatry* 2002;159:1944-1946
43. Goff DC, Hennen J, Lyoo IK, Tsai G, Wald LL, Evins AE, Yurgelun-Todd DA, Renshaw PF. Modulation of brain and serum glutamatergic concentrations following a switch from conventional neuroleptics to olanzapine. *Biol Psychiatry* 2002;51:493-497
44. Tibbo P, Chris Hanstock C, Valiakalayil A, Allen P. 3-T Proton MRS Investigation of Glutamate and Glutamine in Adolescents at High Genetic Risk for Schizophrenia. *The Am J Psychiatry* 2004;161: 1116-123
45. Kegeles LS, Shungu DC, Anjilvel S, Chan S, Ellis SP, Xanthopoulos E, Malaspina D, Gorman JM, Mann JJ, Laruelle M, Kaufmann CA. Hippocampal pathology in schizophrenia: magnetic resonance imaging and spectroscopy studies. *Psychiatry Res Neuroimaging* 2000; 98:163-175

46. Bertolino A. and Weinberger DR. Proton magnetic resonance spectroscopy in schizophrenia. *Eur J Radiol* 1999; 30:132-141
47. Bartha R, Williamson PC, Drost DJ, Malla A, Carr TJ, Cortese L, Canaran G, Rylett RJ, Neufeld RW. Measurement of glutamate and glutamine in the medial prefrontal cortex of never-treated schizophrenic patients and healthy controls by proton magnetic resonance spectroscopy. *Arch Gen Psychiatry* 1997;54:959-965
48. Choe BY, Kim KT, Suh TS, Lee C, Paik IH, Bahk YW, Shinn KS, Lenkinski RE. ¹H magnetic resonance spectroscopy characterization of neuronal dysfunction in drug-naïve, chronic schizophrenia. *Acad Radiol* 1994;1:211-216
49. Church SM, Cotter D, Bramon E, Murray RM. Does schizophrenia result from developmental or degenerative processes? *J Neural Transm Suppl.* 2002; 63: 129-147
50. Bertolino A, Sciota D, Brudaglio F, Altamura M, Blasi G, Bellomo A, Antonucci N, Callicott JH, Goldberg TE, Scarabino T, Weinberger DR, Nardini M. Working memory deficits and levels of N-acetylaspartate in patients with schizopreniform disorder. *Am J Psychiatry* 2003;160:483-489
51. Bartha R, Al-Searaan YM, Williamson PC, Drost JD, Malla AK, Carr TJ, Densmore M, Canaran G, Neufeld RWJ. A short echo proton magnetic resonance spectroscopy study of the left mesial-temporal lobe in first-onset schizophrenic patients. *Biol Psychiatry* 1999; 45: 1403-1411
52. Brooks WM, Hodde-Vargas J, Vargas LA, Yeo RA, Ford CC, Hendren RL. Frontal lobe of children with schizophrenia spectrum disorders: a proton magnetic resonance spectroscopic study. *Biol Psychiatry* 1998; 43: 263-269
53. Bertolino A, Kurma S, Callicott JH, Mattay VS, Lestz RM, Jacobsen L, Barnett SL, Duyn JH, Frank JA, Rapoport JL, Weinberger DR. Common pattern of cortical pathology in childhood-onset and adult-onset schizophrenia as identified by proton magnetic resonance spectroscopic imaging. *Am J Psychiatry* 1998;155:1376-1383
54. Thomas MA, Ke Y, Levitt J, Caplan R, Curran J, Asarnow R, McCracken J. Preliminary study of frontal lobe ¹H MR spectroscopy in childhood-onset schizophrenia. *J Magn Reson Imaging* 1998;8:841-846
55. Hagino H, Suzuki M, Mori K, Nohara S, Yamashita I, Takahashi T, Kurokawa K, Matsui M, Watanabe N, Seto H, Kurachi M. Proton magnetic resonance spectroscopy of the inferior frontal gyrus and thalamus and its relationship to verbal learning task performance in patients with schizophrenia: a preliminary report. *Psychiatry Clin Neurosci* 2002;56:499-507
56. Fukuzako H. Heritability heightens brain metabolite differences in schizophrenia. *J Neuropsychiatry Clin Neurosci* 2000;12(1):95-7
57. Bustillo JR, Lauriello J, Rowland LM, Jung RE, Petropoulos H, Hart BL, Blanchard J, Keith SJ, Brooks WM. Effects of chronic haloperidol and clozapine treatments on frontal and caudate neurochemistry in schizophrenia. *Psychiatry Res Neuroimaging* 2001; 107:135-149
58. Bustillo JR, Lauriello J, Rowland LM, Thomson LM, Petropoulos H, Hammond R, Hart B, Brooks WM. Longitudinal follow-up of neurochemical changes during the first year of antipsychotic treatment in schizophrenia patients with minimal previous medication exposure. *Schizophrenia Res* 2002; 58:313-321
59. Cecil KM, Lenkinski RE, Gur RE, Gur RC. Proton magnetic resonance spectroscopy in the frontal and temporal lobes of neuroleptic naïve patients with schizophrenia. *Neuropsychopharmacology* 1999;20:131-140
60. Lindquist DM, Hawk RM, Karson CN, Komoroski RA. Effects of antipsychotic drugs on metabolite ratios in rat brain in vivo. *Magn Reson Med* 2000;43:355-358.
61. Bertolino A, Callicott JH, Mattay VS, Weidenhammer KM, Rakow R, Egan MF, Weinberger DR. The effect of treatment with antipsychotic drugs on brain N-acetylaspartate measures in patients with schizophrenia. *Biol Psychiatry* 2001;49:39-46
62. Braus DF, Ende G, Weber-Fahr W, Demirakca T, Tost H, Henn FA. Functioning and neuronal viability of the anterior cingulate neurons following antipsychotic treatment: MR-spectroscopic imaging in chronic schizophrenia. *Eur Neuropsychopharmacol* 2002;12:145-152
63. Braus DF, Ende G, Weber-Fahr W, Demirakca T, Henn FA. Favorable effect on neuronal viability in the anterior cingulate gyrus due to long-term treatment with atypical antipsychotics: an MRSI study. *Pharmacopsychiatry* 2001;34:251-253
64. Bustillo JR, Rowland LM, Lauriello J, Petropoulos H, Hammond R, Hart B, Brooks WM. High choline concentrations in the caudate nucleus in antipsychotic-naïve patients with schizophrenia. *Am J Psychiatry* 2002;159:130-133
65. Fukuzako H, Kodama S, Fukuzako T, Yamada K, Doi W, Sato D, Takigawa M. Subtype-associated metabolite differences in the temporal lobe in schizophrenia detected by proton magnetic resonance spectroscopy. *Psychiatry Res* 1999;92:45-56
66. Özdemir B, Uzun Ö, Battal S, Özşahin A. Defisit şizofrenide sol frontal lop proton MRS bulguları. 40. Ulusal Psikiyatri Kongresi Özeti Kitabı 28 Eylül 3 Ekim 2004, Kuşadası: 229-232
67. Delamillieure P, Fernandez J, Constans JM, Braze P, Benali K, Abadie P, Vasse T, Thibaut F, Courthéoux P, Petit M, Dolfus S. Proton magnetic resonance spectroscopy of the medial prefrontal cortex in patients with deficit schizophrenia: preliminary report. *Am J Psychiatry* 2000;157:641-643
68. Ohara K, Isoda H, Suzuki Y, Takehara Y, Ochiai M, Takeda H, Hattori K, Igarashi Y, Ohara K. Proton magnetic resonance spectroscopy of lenticular nuclei in simple schizophrenia. *Progress in Neuro-Psychopharmacol Biol Psychiatry* 2000;24:507-519